

FIG. 1

MODULATION CODES, ϕ_k^q

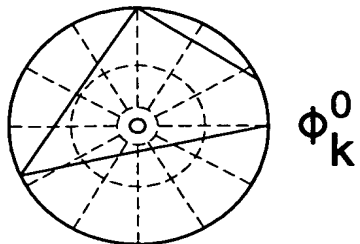


FIG. 2a

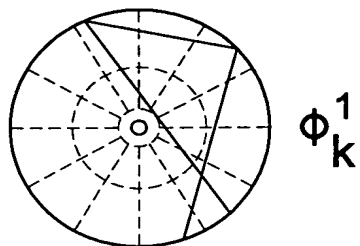


FIG. 2b

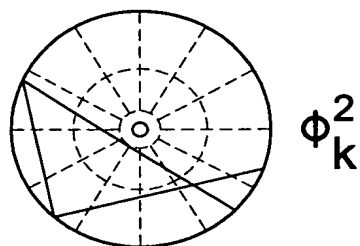


FIG. 2c

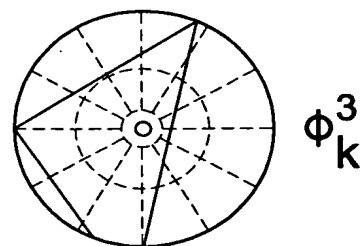


FIG. 2d

SWITCHING CODES, ψ_k^q

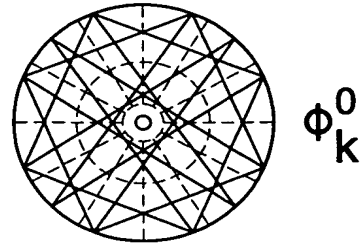


FIG. 2e

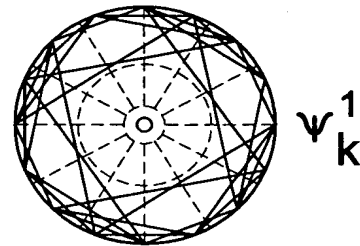


FIG. 2f

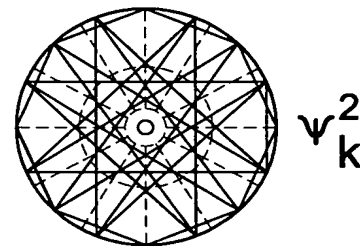


FIG. 2g

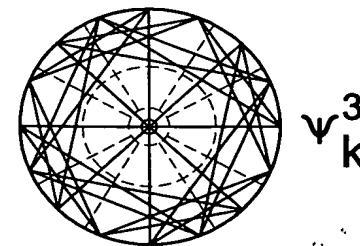


FIG. 2h

FIG. 3a

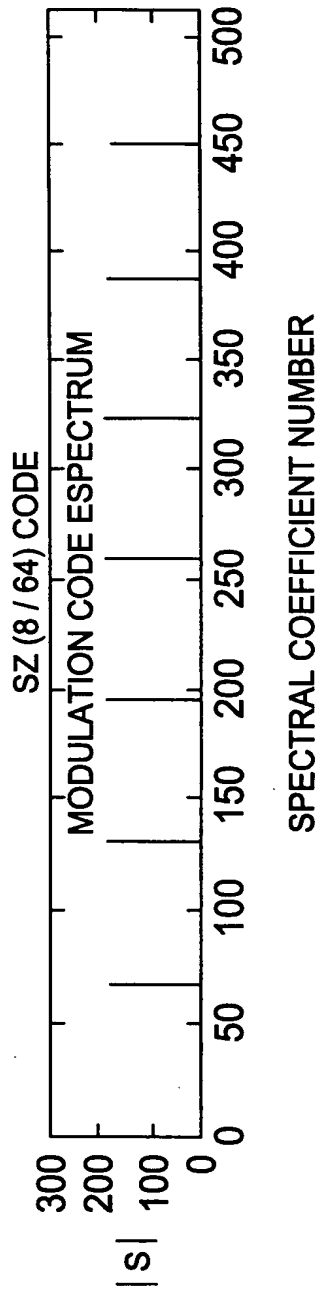


FIG. 3b

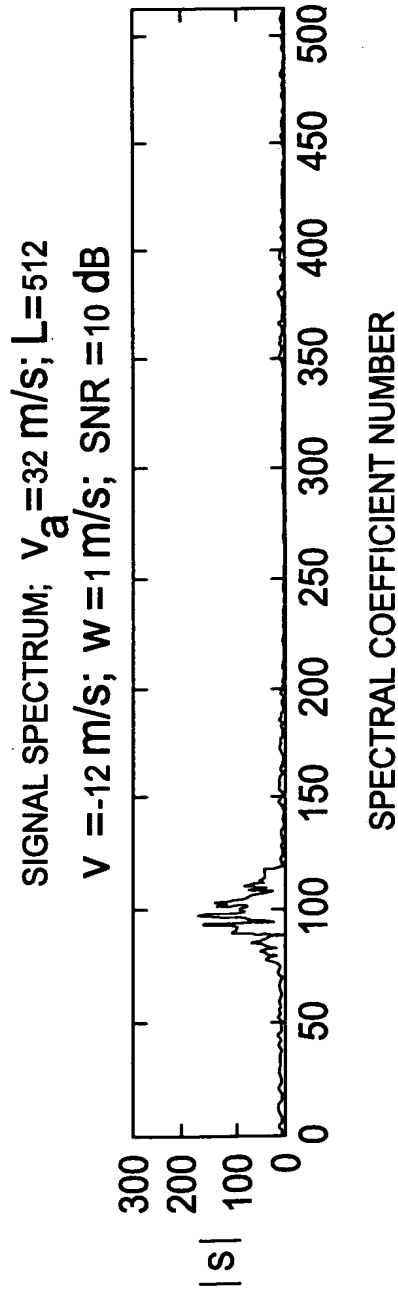
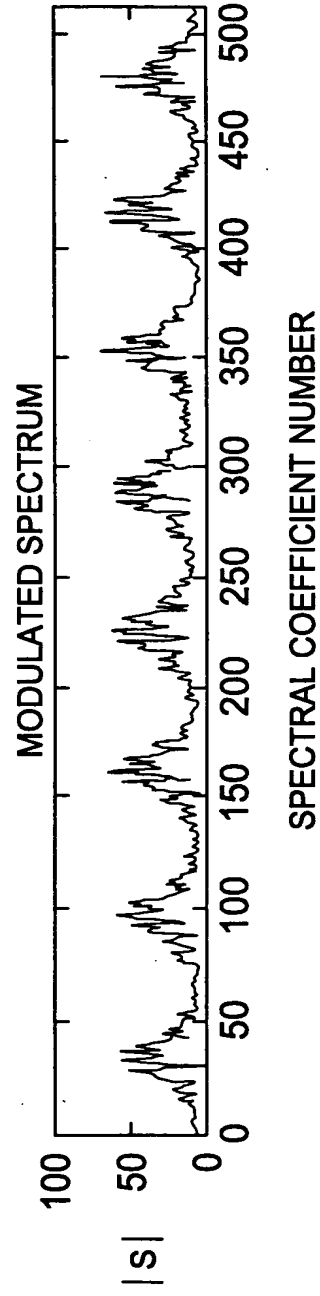


FIG. 3c



SIGNAL SPECTRUM; $V_a = 32 \text{ m/s}$; $L = 512$
 $V = -12 \text{ m/s}$; $W = 6 \text{ m/s}$; $\text{SNR} = 10 \text{ dB}$

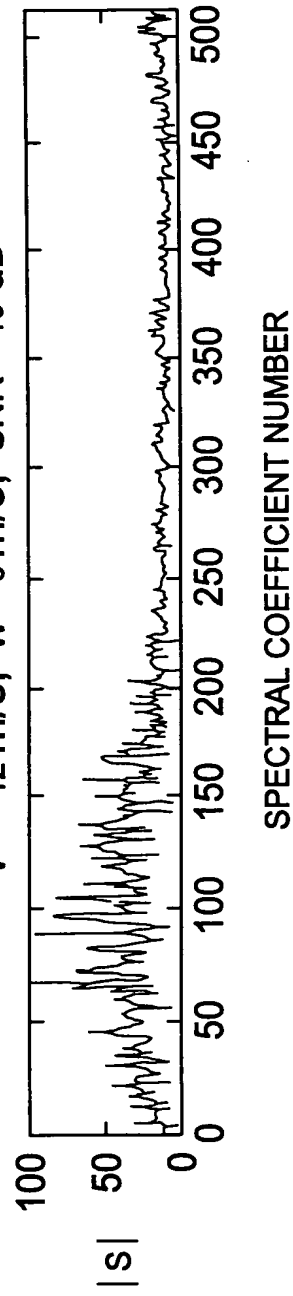


FIG. 3d

MODULATE SPECTRUM

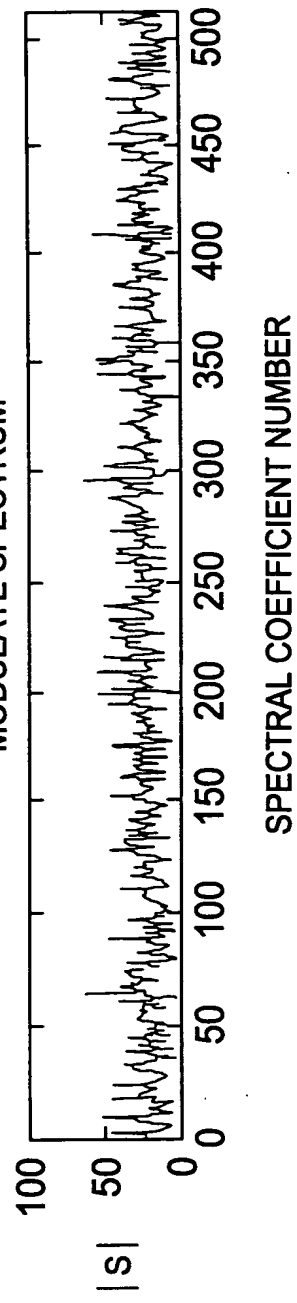


FIG. 3e

FIG.4

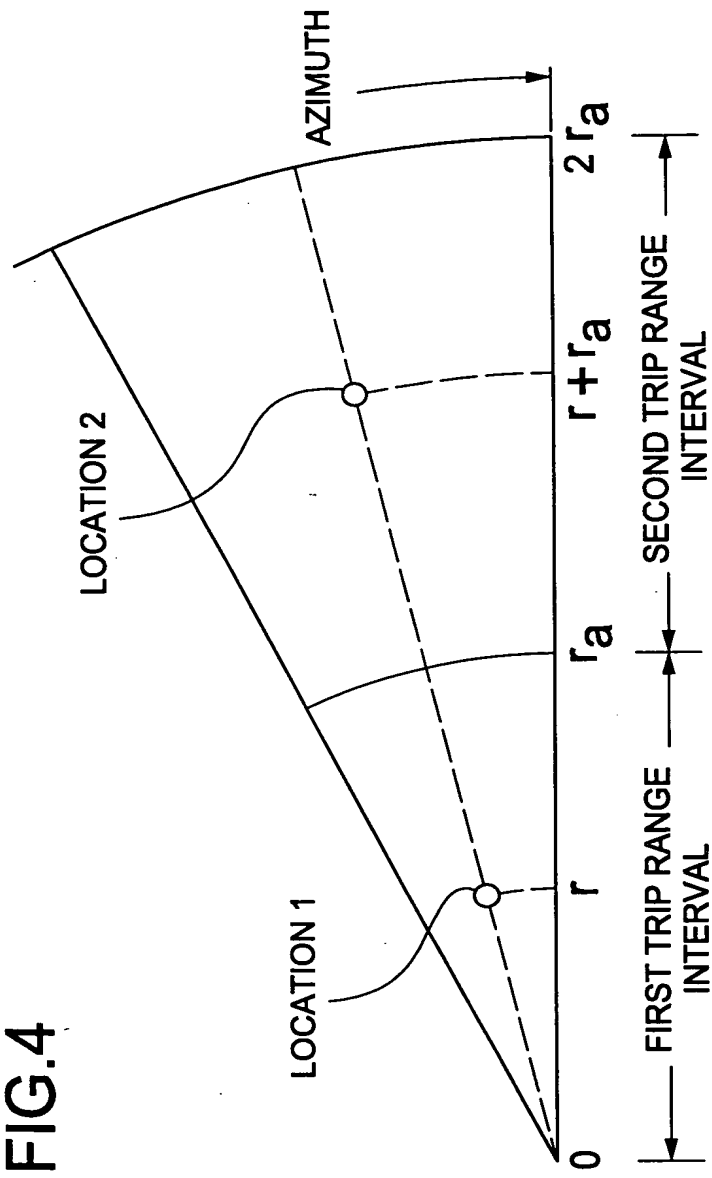
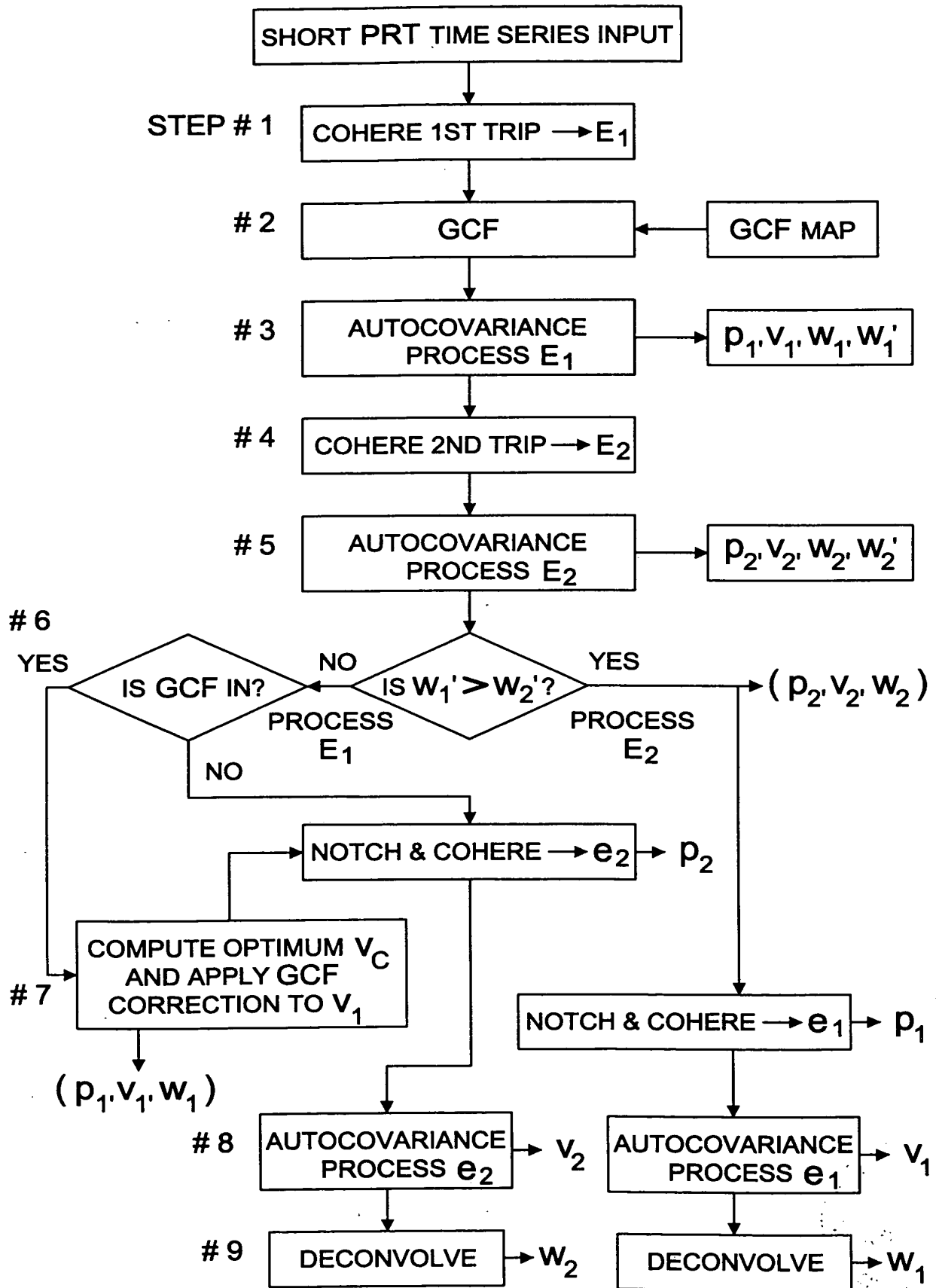


FIG 5



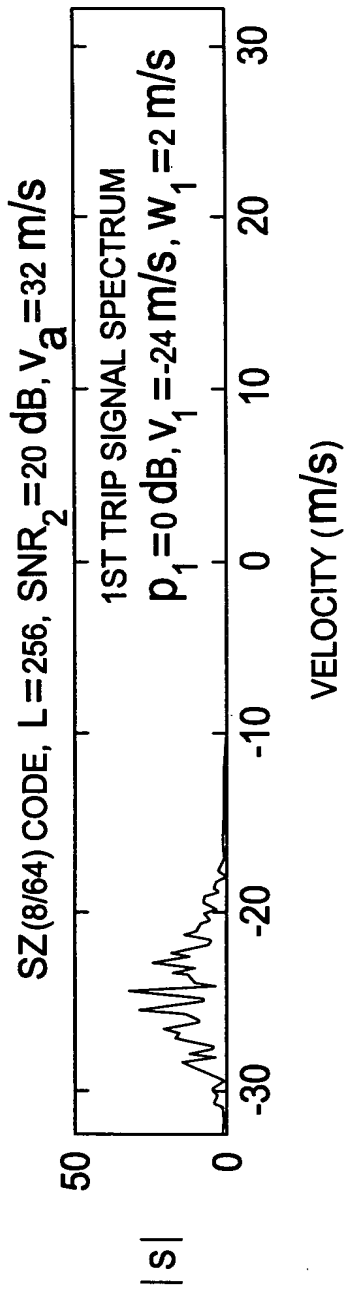


FIG. 6a

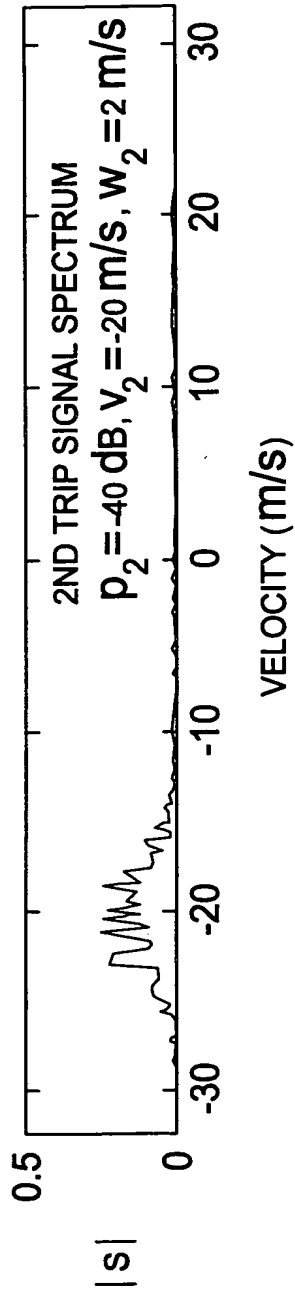


FIG. 6b

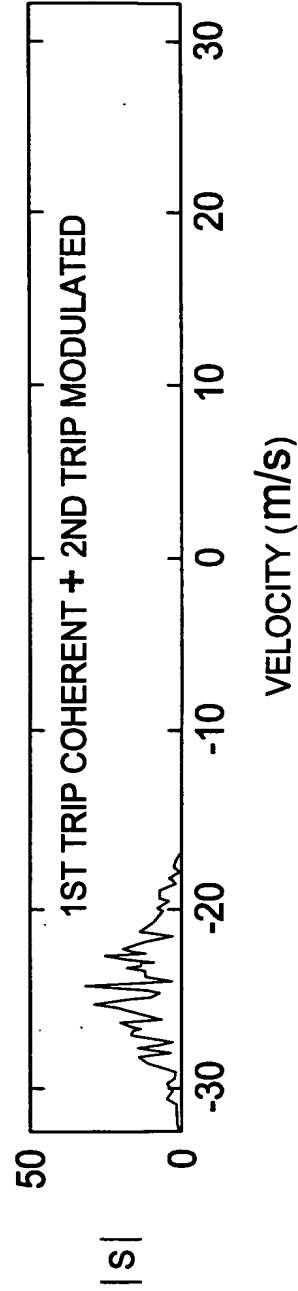


FIG. 6c

FIG. 6d

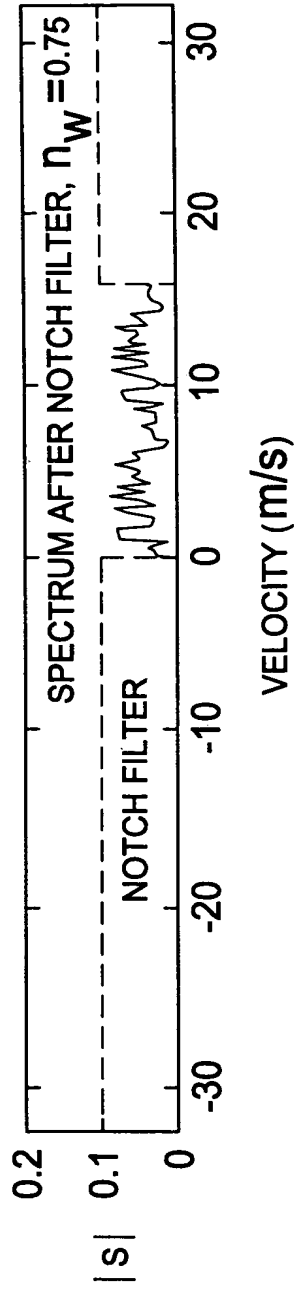


FIG. 6e

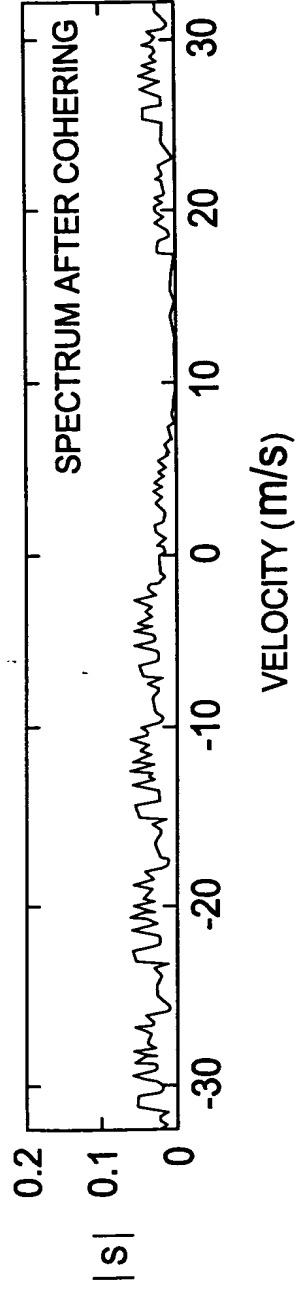


FIG. 6f

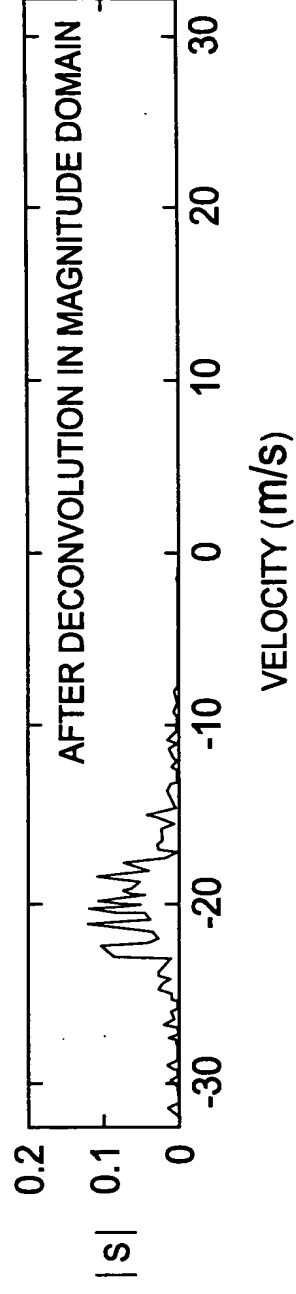


FIG.7

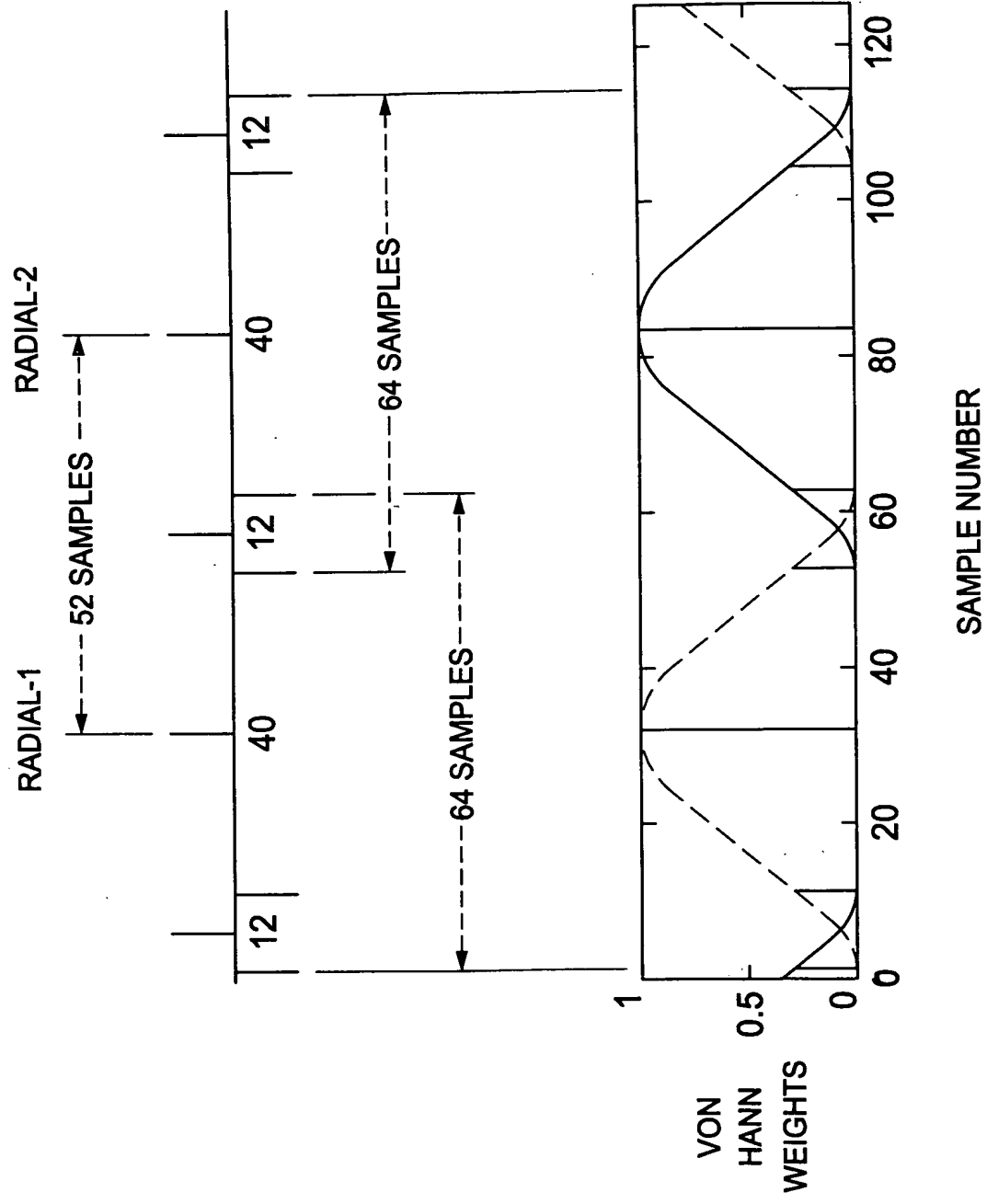


FIG. 8a

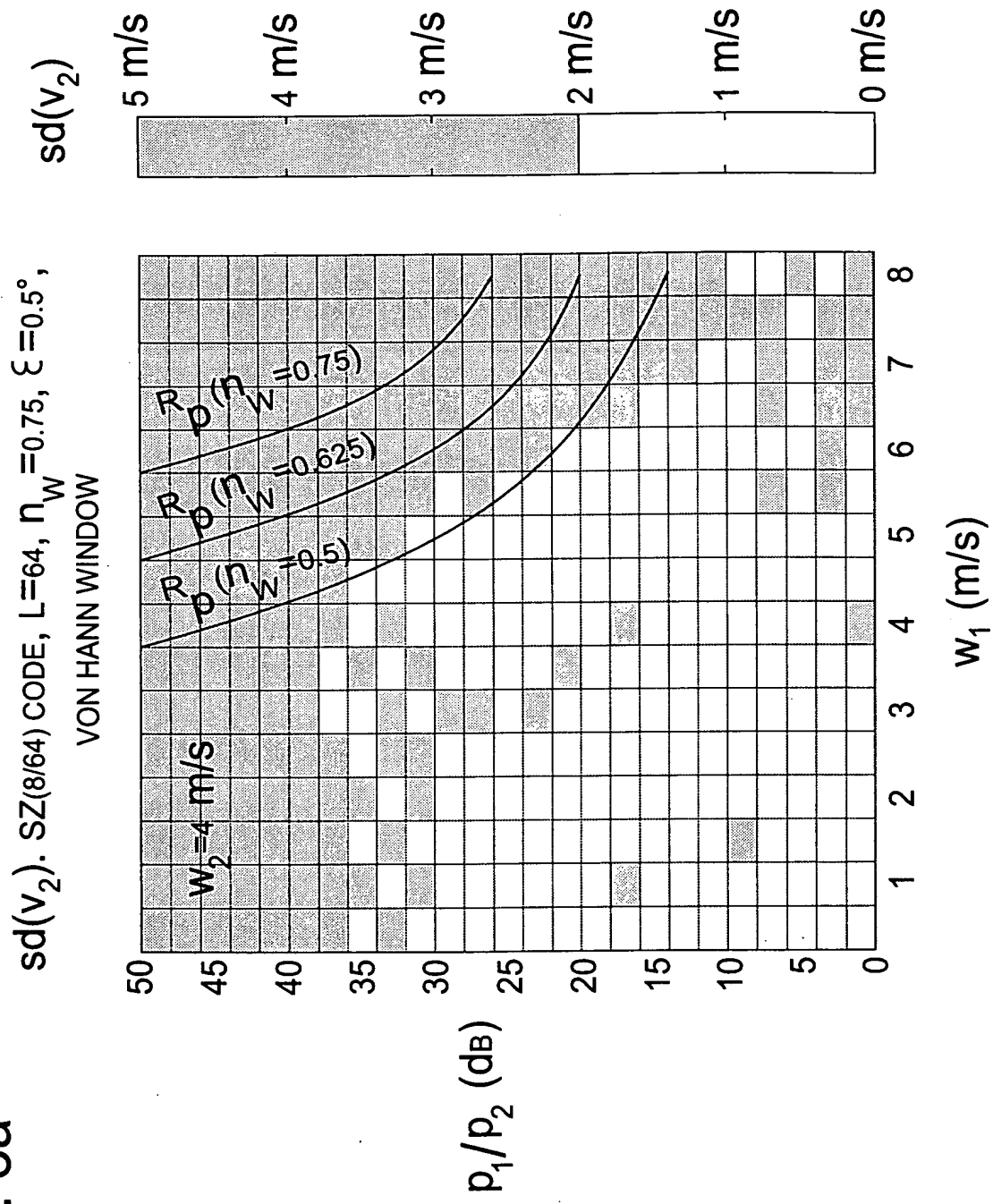
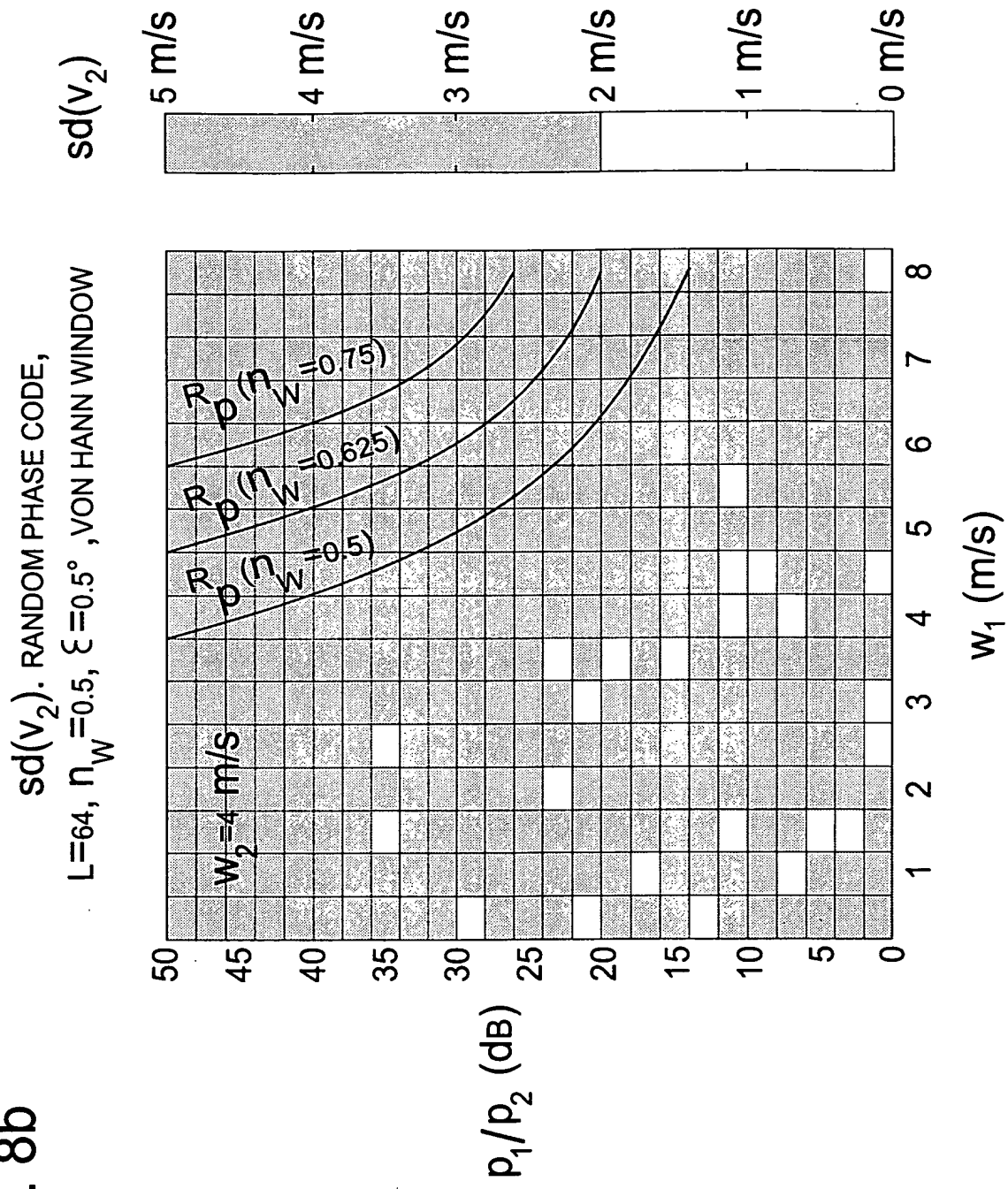


FIG. 8b



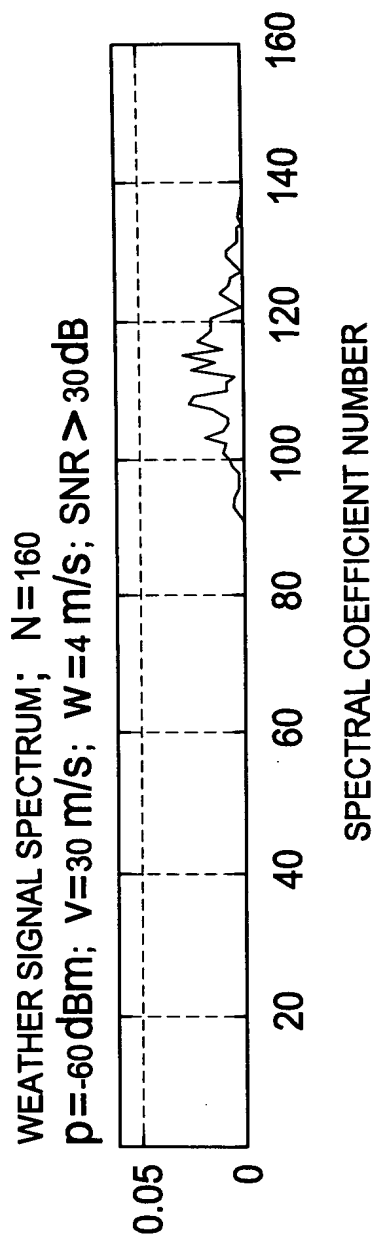


FIG. 9a

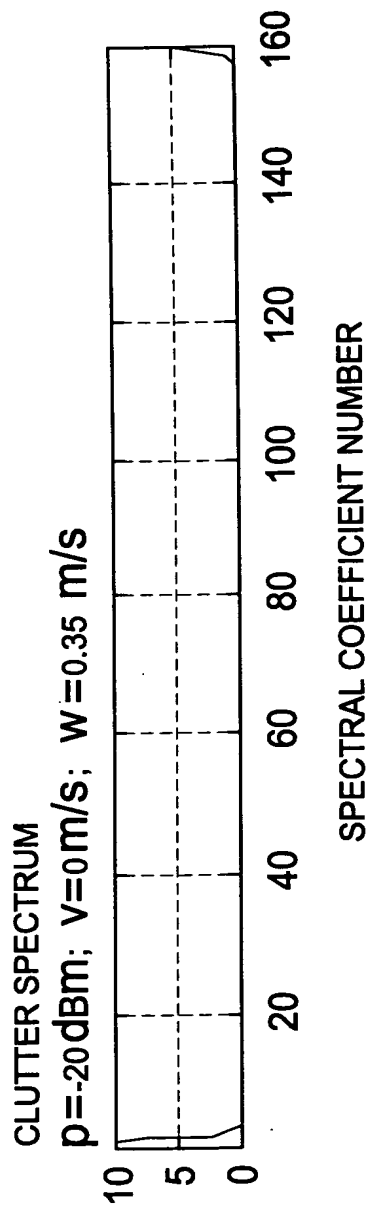


FIG. 9b

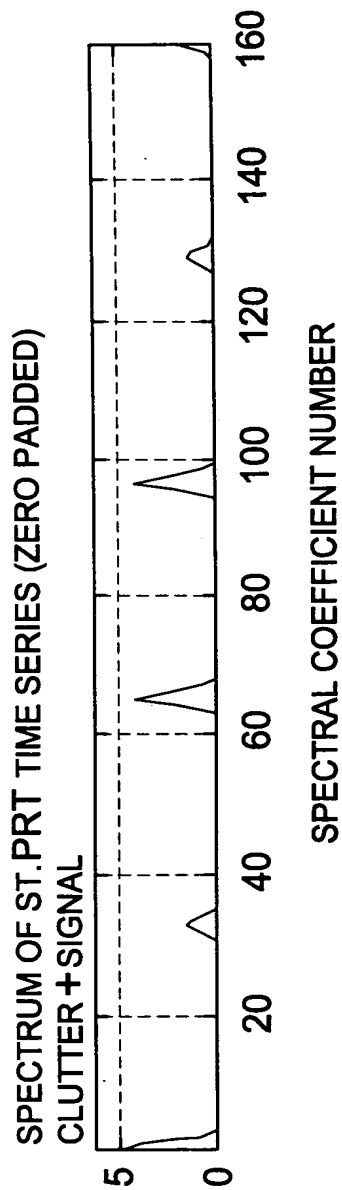


FIG. 9c

FIG. 9d

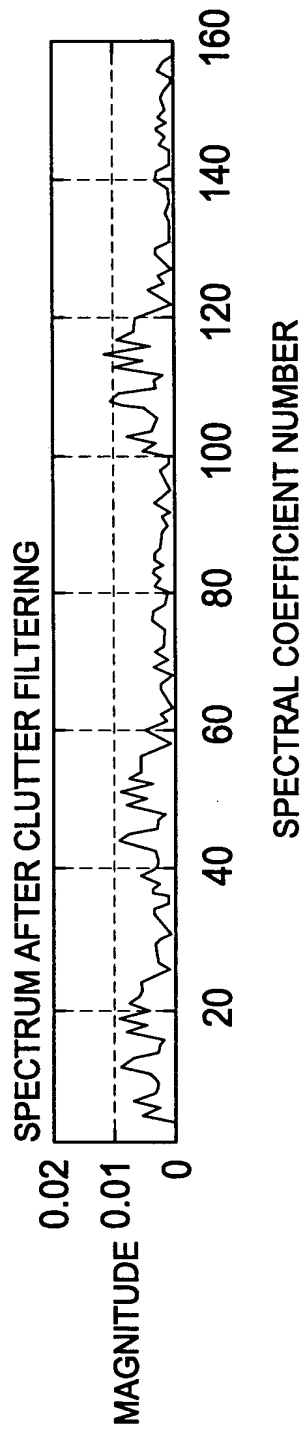


FIG. 9e

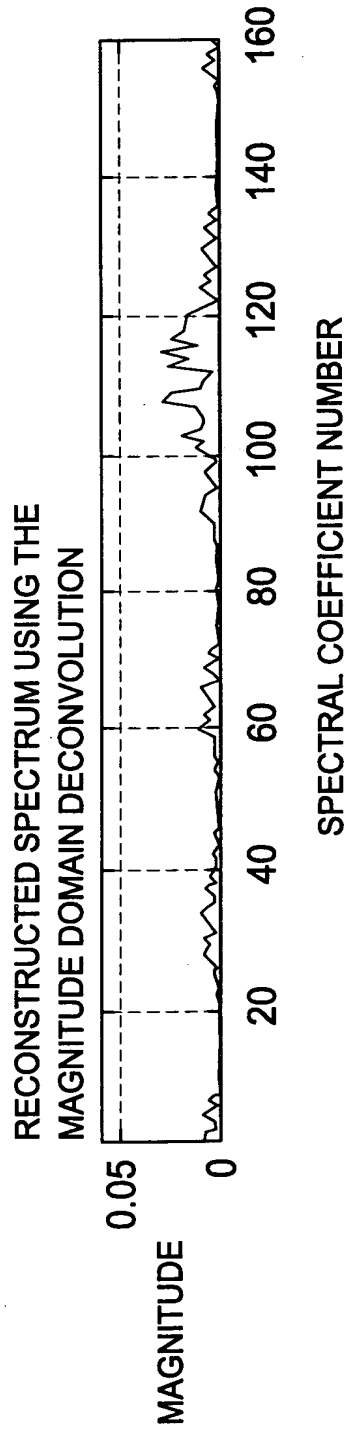


FIG. 9f

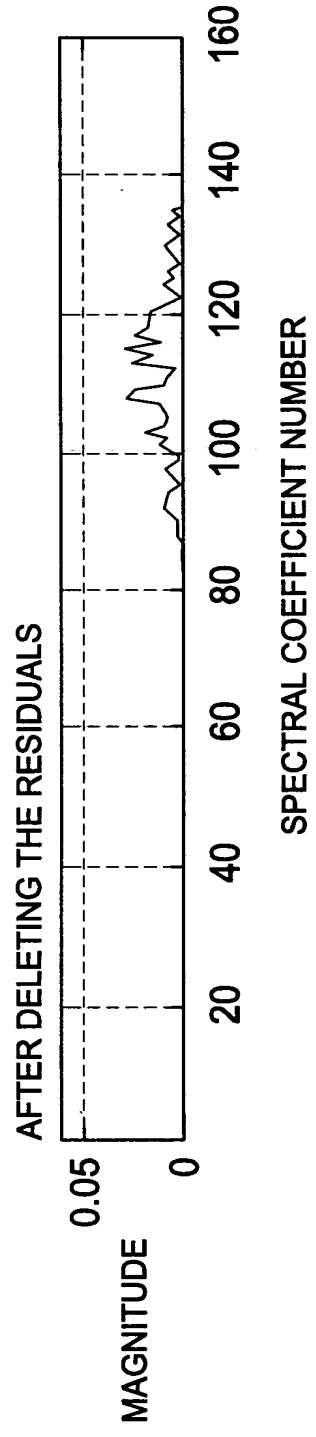


FIG. 10

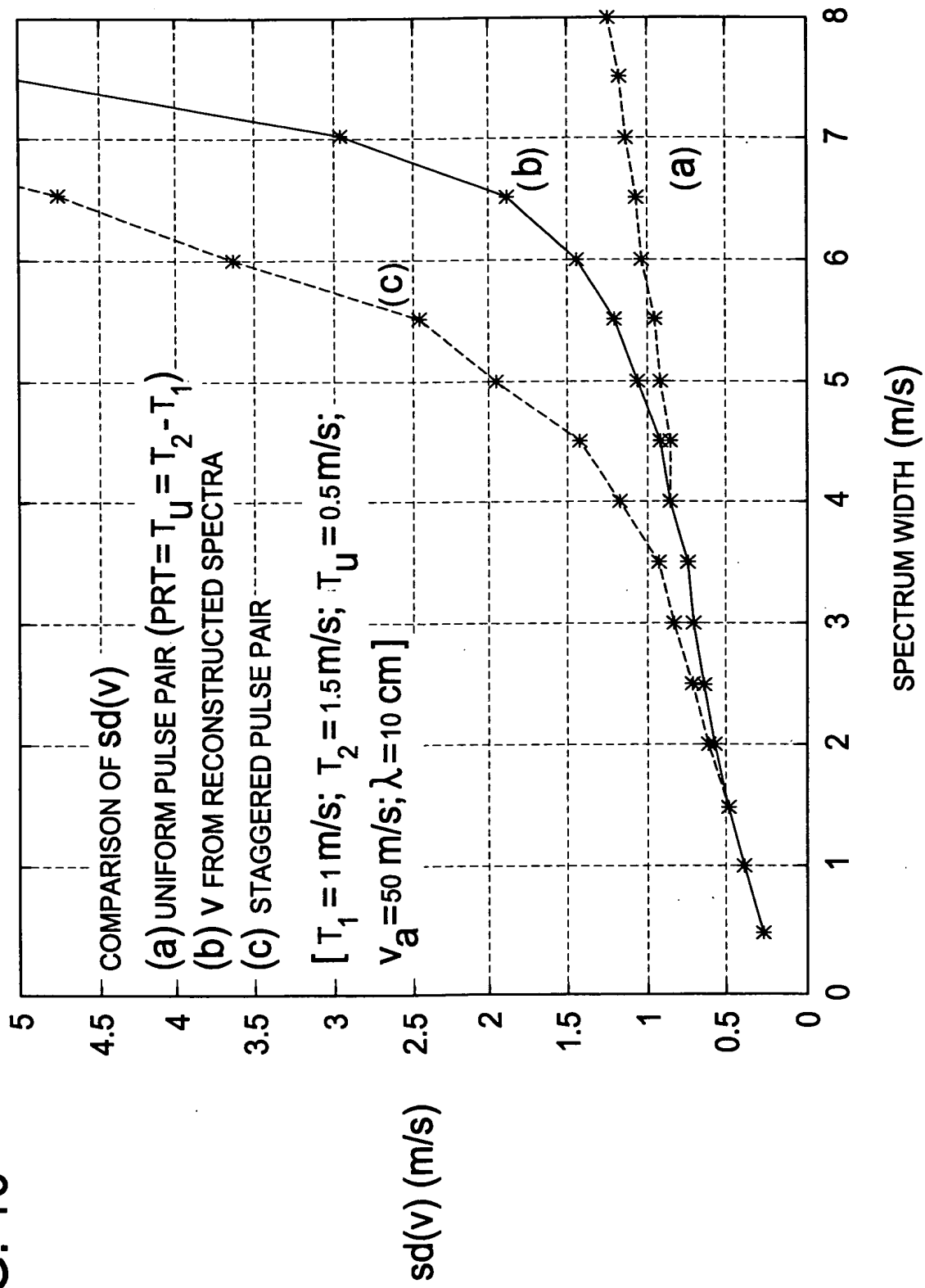


FIG. 11

